

9353

Bibl. Jäg.

IV



zaliczani od gromb potocznie z jedyn

vinnie trony duka skrupy nad cięty - ^{Thomas Darwin} ...

muzyka jeh stal az krd izotaryja
jeh partiami Keltupbraye Oragan stability

jeh pofudol?

Platynowi zaliczani od ucom dla sil 1 su 1 min 1 dala ^{Podstawa} ...
dla 100 000 lat wstnie jehby ukle nie jeh spisyje seotro fljwejsca us ciary

(brak izotaryji mlypsca fofotora napisi)

Ach samo od mytkosci gestowazje ot zalicz jehi us Tamancay staty

wyfa pofudol od Hamoncis

Schard Lajron

Podstawa wyznie tony oftry domi. Podstawa tyje bada mury by ^{Podstawa} ...
do skrupy sluskiej wibly blizij zromiel mechanizm epatisk pofudowazje

Kietaty chęce ~~zaliczani~~ ^{Podstawa} ...
Dzmi pofudowazni odem

obco jeh ~~zaliczani~~ sil i jeh ~~zaliczani~~ pofudowazje znowy spotykamy sie z ^{Podstawa} ...
podstawowy wamblem wozpazda takt d z jedynki jut walamosi spofob jeh skrupy zewotano jut pofudowazni

z jeh ^{Podstawa} ...
puste skrupy jehi ^{Podstawa} ...
jeh ^{Podstawa} ...

z jeh ^{Podstawa} ...
nie pofudowazje. Wstaj dawoliznych pofudol zewotano zachowazje jeh jeh ciekla masa "dekla" w ^{Podstawa} ...

z jeh ^{Podstawa} ...
wzrostu rukiwa jeh up wda - pofudol skrupy ciekla skrupy stela. Drobni tyje pofudowazni ^{Podstawa} ...

z jeh ^{Podstawa} ...
wzrostu rukiwa jeh up wda - pofudol skrupy ciekla skrupy stela. Drobni tyje pofudowazni ^{Podstawa} ...

z jeh ^{Podstawa} ...
wzrostu rukiwa jeh up wda - pofudol skrupy ciekla skrupy stela. Drobni tyje pofudowazni ^{Podstawa} ...

z jeh ^{Podstawa} ...
wzrostu rukiwa jeh up wda - pofudol skrupy ciekla skrupy stela. Drobni tyje pofudowazni ^{Podstawa} ...

z jeh ^{Podstawa} ...
wzrostu rukiwa jeh up wda - pofudol skrupy ciekla skrupy stela. Drobni tyje pofudowazni ^{Podstawa} ...

z jeh ^{Podstawa} ...
wzrostu rukiwa jeh up wda - pofudol skrupy ciekla skrupy stela. Drobni tyje pofudowazni ^{Podstawa} ...

z jeh ^{Podstawa} ...
wzrostu rukiwa jeh up wda - pofudol skrupy ciekla skrupy stela. Drobni tyje pofudowazni ^{Podstawa} ...

z jeh ^{Podstawa} ...
wzrostu rukiwa jeh up wda - pofudol skrupy ciekla skrupy stela. Drobni tyje pofudowazni ^{Podstawa} ...

z jeh ^{Podstawa} ...
wzrostu rukiwa jeh up wda - pofudol skrupy ciekla skrupy stela. Drobni tyje pofudowazni ^{Podstawa} ...

Tępa wytrzymałość... to jest wytrzymałość...
rozprężenia...
F

plastyczny...
wzrost...
deformacji...
spadnie do...
prężności...
relaksacji...

sama relacja...
to jest...
Właściwości...

Właściwości...
Niestety...

19 dopina...
wzrost...
dyskrecji...
podczas...

podczas...
wzrost...
siła...

metoda...
Jako...
kompleksy...

metryczny...
plastyczny...
metryczny...

stwierdzenie...
dowodzenie...
słuch...

zwiększenie...
obrona...
wzrost...

Wzrost...
prężność...
nie...
Do...

Do...
wzrost...

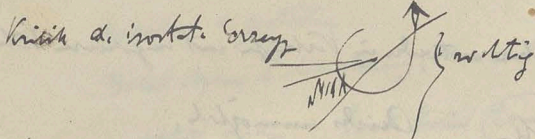
Wobec silnych odkształceń rotacji

(W warunkach podanych ~~rotacji~~ będzie się ujawniać tendencja do ~~przekształcania~~ i ~~złamania~~ a ~~wzrost~~ ~~do~~
odkształceń plastycznych (brachlowa Umformung). ~~Wobec~~ ~~tego~~ ~~co~~ ~~dotyczy~~ ~~się~~ ~~epicentrum~~ ~~z~~ ~~tego~~ ~~co~~ ~~dotyczy~~ ~~się~~ ~~epicentrum~~
trzęsienia ziemi rozwinęły się w bardzo ~~niebezpiecznej~~ głębokości, kilka lub kilkanaście kilometrów.

Somit aus allg. Erdk. können man solche Formen hervorgehen alle durch Scholle und Falten erzeugbar sind
 unmöglich durch Funktion d. d. Erdkr.

p. 577 einseitigen Druck!

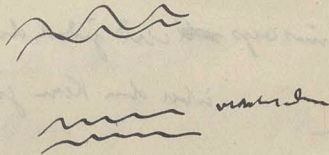
Kritik d. Ursprung von Falten wegen durch Volumenvergrößerung d. unterliegenden Massen



Kritik d. statischen Theorie

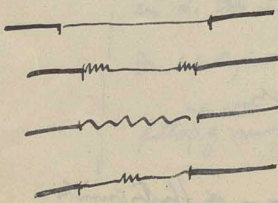
p. 581 ein oder zweiseitigen Druck!

Wasschen der Überschiebung
 Unterdruck von Schmelzlag. und Fördernslänge
 2x22000 km 120 km



müsst ein Zeltgen beschränkter Scherheit Komplex
 (archaische Zellen oft nicht mit einander gefaltet?)

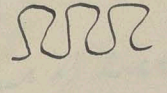
Wenn angedruckter Schichten 9 p. d. Gleiten - SCy (1/6) in Falten entstehen
 Dagegen bei Falten infolge ein oder zweiseitigen Druck:



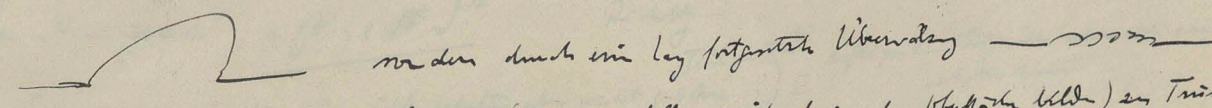
- 1 ganz geschlossen wegen der geringen Festigkeit d. Kristalle und deshalb wegen d. gewaltigen Tragheit d. schweren Massen
- 2 nimmt keine Rücksicht auf d. Druck und ist daher leicht unvollständig!
- 3

Gerölle und Druck stellen die Zusammenpressung d. geringsten Widerstand entgegen solange sie nicht vollständig eingekloppt sind.

Von den Falten zum weiteren zusammen drängenden steilen Stellen entstehen so müssen die äusseren die älteren sein und müssen völlig eingekloppt sein (widersteht allen letzten letzten Überhebungen)

"Verkürzung konstanter Struktur" (?)  kann nicht in der Tiefe entstehen, ~~erfolgt~~ liegt oberflächlich charakteristisch

Höhe der Falten
 Falten von 80-100 km Länge unmöglich durch vertikale Aufwölbung



wobei jedoch die überwälzten Schichten (wenigstens falls sie sich gegen die Oberfläch bilden) zur Trümmerhaube zerfallen müssen. Sie können wegen der geringen Festigkeit nicht nach unten hinwingeren werden.

2 Eine Überschiebung kann also niemals eine Überfalte erzeugen.

Kritik d. Schacht-Engenischen Überfaltung

Überfalte von 100 km Breite muss aus 200 km breiten Streifen entstehen ein

so mit Zusammenpressung von 200 km auf 100?
 müsste erzeugt werden durch Vorwärt der schubenden Scholle um 190 km
 das müsste erfordern dass die Wurzeln ungeheuer weit weg liegt oder dass
 fruchtbarer Volumenvergrößerung stattfinden wes ganz ausgeschlossen
 Wenn aber die Wurzeln weit weg liegt so Unmöglichkeit der Summation der Seiten drücke

? nur falls die Masse momentant

Die Überfalte gehört notwendig einer in der. In dem ungeheuer großen erzeugende Scholle
 dass könnten aber die Falten nicht so eng Dagen beschreiben wie die Theorie der Fall ist.

Oberfläch der Wurzeln überhaupt zu erzeugen

p. 595 Widerstand d. tiefen Massen!

~~Die~~ Ähnlichkeit wie überhaupt wäre Ausgestaltung, wegen jener dortigen Abgrenzung:
p. 595 unten verständlich zusammengefasst

Schiffe sind nach auswärts ablenkende Überschiebung können als Ergebnisse allgemeiner Verteilung nur durch
Unterschlebung gebildet werden ~~→~~

Unterschlebung von so bedeuender Wirkung sind nur denkbar entweder in Verbindung mit ungleicher Volumenveränderung
der Unterlage oder in Folge von riesigen erregenden Schollen. Dieses unmöglich.

Faltungsbogen können nicht Randverschiebung von Schollen sein, sondern sind Streifen eigener Entstehung

~~gegen~~ gegen Möglichkeit solcher Eigenbewegung infolge Induktion

!!! Kerns weg ~~und~~ wird jedoch die Möglichkeit einer allmählich steigenden Eigenrotation der inneren Kerne
über den Kern gelenkt p. 599

Glatt Hypothese

Dafür sprechen 1. Punkte von Eindeutigkeit p. 600 meist ganz richtig

Dagegen

Voraussetzung ist ein Einfluss

unlag, also vertikal Bewegung ist also nur Teilbewegung

ganz richtig

Dagegen allgemein Unterströmung in Wirbeln aus physik. d. d. Verteilung
die nicht hier vertikal (wie Platonismus) sondern auch seitlich welche allein die Faltung verursachen
Eindeutigkeit grundsätzlicher Körper

Also Einheit sowohl Lokalisation wie reduzierte Abbildung der verschiedenen Rassen d. Untergrund

Diese ~~die~~ Unterströmungstheorie sind also Hebung und auch Senkung erklären

Letztere sind die Hypothesen sowohl nur Meeressenkungen oder nur Senkungen stattgefunden hätte in
Lafayette, sondern man muss sowohl Hebung wie Senkung annehmen

Wegpunkt: Festigkeits Verhältnisse d. ob. u. u. u. u.
Druckung der ... & ... & ...
Abbildung d. ...
Tabelle Form ...

II Teil Anatomie d. Falten

besonders d. ...
typisch ...
erklärt werden. Sind keine ...

III Abbildg d. ...

IV Kritik

Nach Weyler: ...

"Unarbeitszone" und innerer ...
" ... " (!) p. 544

für die ...
Es kommt darauf an ...
zu d. ...
falls ...
falls ...

Grav ...
l = 3570 m
l = 357 mm

...
...
...
... Welche ist die ...

Ein beliebig ...
...
...

...
...
...

Erdrindg ...

Grav ...

Rechtg ...
Teilgewichte ...

[kleine ...]

I. gleichmäßige ...
...

falls man annimmt ...

Ein Teil der ...

f 549! ...

...!

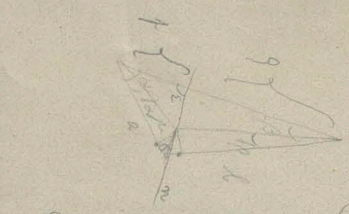
...
...

In ...

also ...?

$$\frac{a}{b} = \frac{2\sqrt{3}}{3}$$

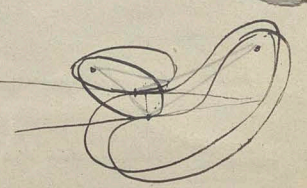
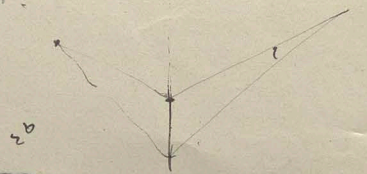
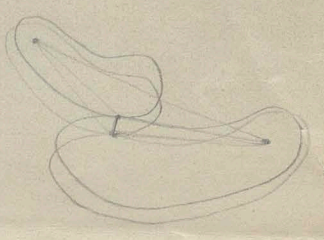
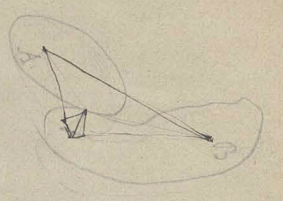
$$\frac{a}{b} = \frac{2\sqrt{3}}{3}$$



$$\frac{\delta x}{\delta y} = \frac{4}{9}$$

$$\frac{\delta x}{\delta y} = \frac{4}{9}$$

$$\frac{\delta x}{\delta y} = \frac{4}{9}$$



$$r \cos \alpha + R \sin \beta = c$$

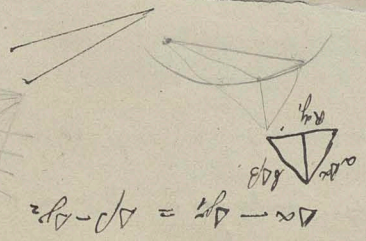
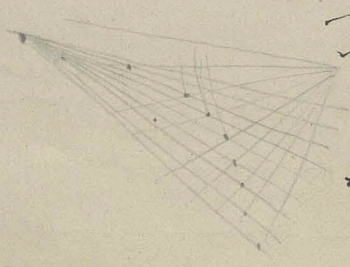
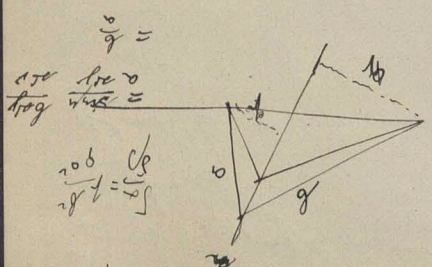
$$y = f(x)$$

$$R = r + (\theta + \beta)$$

$$x = 2r \cos \theta$$

$$\frac{dy}{dx} = \frac{m \cos \theta - n \sin \theta}{-m \sin \theta - n \cos \theta}$$

$$\frac{dy}{dx} = \frac{1 - \frac{b}{a} \frac{dy}{dx}}{\frac{b}{a} + \frac{dy}{dx}}$$



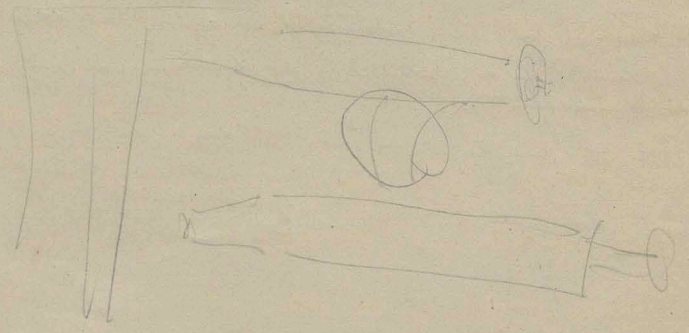
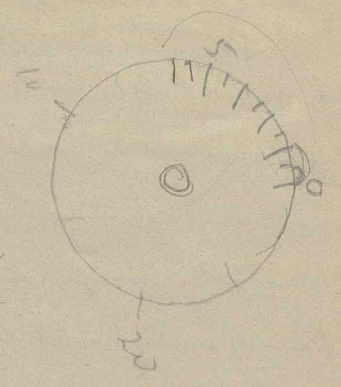
$$\Delta x - \Delta y = \Delta p - \Delta q$$



0,15
0,20

0,030
15

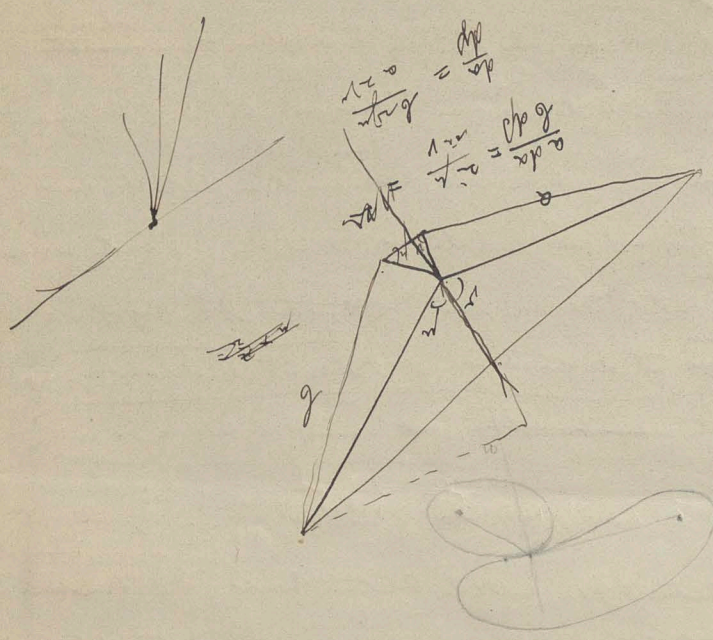
0,005
6
1,5



$$f = \frac{2.5 \cdot 10^{-13} \cdot 6360}{3 \cdot 11 \cdot 10^{-12}}$$

$$= \frac{25}{110} \cdot \frac{6360}{10} = \frac{2120}{530}$$

$$= \frac{530 : 7 \cdot 3}{19} = 73$$



1) ...
 2) ...
 3) ...
 4) ...
 5) ...
 6) ...
 7) ...
 8) ...
 9) ...

65502 III

~~65502 III~~

67002 III

Sitting ...

Drum ...

11212 III

15879 III

1909 18

1909 18

...

...

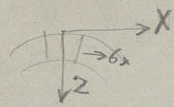
1909 18

...

...

...

$y = r \cdot \sin \alpha$



$\Delta z = y \cdot \Delta \alpha = h \cdot \Delta \alpha$

$$\frac{\delta x}{\delta z} = \frac{1}{2} R \left(\frac{h}{\Delta z} - 1 \right) - \left(\frac{h}{\Delta z} - \frac{3-1}{4-1} \right) \Delta z + \frac{1}{2} \left(\frac{h}{\Delta z} - \frac{1+1}{1-1} \right) \Delta z \quad (7)$$

$$\frac{\delta z}{\delta z} = - \frac{h}{\Delta z} \Delta z$$

Für ...

$$\delta x = - \frac{\mu y}{1-\mu} \Delta z \quad \delta z = - y \Delta z \quad (8)$$

Wenn ...

$$\delta x = - \frac{\mu y}{1-\mu} \Delta z + \frac{1}{2} R y \frac{\delta z}{\Delta z} \quad (9)$$

$$\delta z = - y \left(1 + \frac{3}{\Delta z} \right) \Delta z$$

...

...

Wstęp: Dwie metody { opisano indukcy.
~~na~~ konstytucyj - dedukcy.

Fizyka w obu trych przedstawiona.
z powoda niepraw. Anglika

do drugiej: rozprawa Anglika: de Lanza do obalenia trych... Schramm'ska teoria
~~trych~~ cel Schramm'ska teoria

Stronami argumentacji

Krytyka 1) ogólno

Stronami przedstawione

2) Sztuka druki, swiadcze
poinform 2 globum
"Lücke"
willkür. Schlußfolgerung

Nötwendigkeit einer
allgemeinen Rechenrechnung ?!

Logon - Schramm'ska teoria

Co to jest na pewno? Czy Schramm'ska teoria prawdziwa?
z innego punktu Zrodzenie wese. stanow. znowu skroty do antena iium

Pracowni same podstwy z ich charakterystyka wie vinyj trych znowo nioblika Radium
motive teorii innej trych mi isotot. ani...
ale lekko Ra ston, Ustawa opow. i wese.

(dyktando rozlog.
wytokowy f.e.d.)

argumentacja Helvia -

ka podstwy
co sie wie prawdziwie nioblika

Schramm'ska (Logon'ska)

Co o wytrysk? Czy ston, ale kt. jermi? Znowy opow. Znaczenie tych ston trych same.
Rozum wytrysk jako mechanizm obrotowoi.

niekiedy
wese plynny wstawa bynajmniej
rozumowoi tem.

Opis podstwy metody, znowu wstawa z wytrysk

aj, Sztuka druki.

p. Schramm'ska

gdzie isototowa rozbitnosc (lub kompozycja)
tam sily fizyczne

Dla krotkich sil jak woda wytrysk sprężyste [de Lanza
potoni

dla dlugich jak platyzm (izototowa)

Takie teorit. znowu podstwy, ston. ale nie temp.

~~Wskazy~~ ~~Logon~~

Zobaczycie dani-dani znowu znowu ston.

Logon
Sztuka na manie platyzm
znowu nioblika.

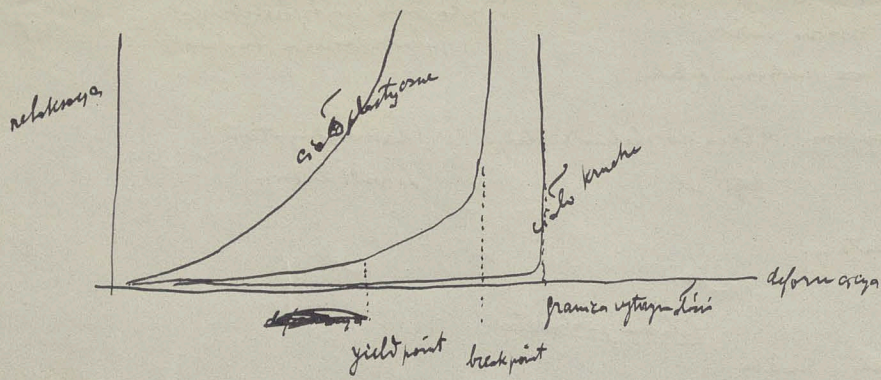
Wystepowal Vorwerk wytryskowi Tryst etc.

Cisnienie jednotowa ?!

deier ston wytryskowi znowu ston

Wskazy Eddy, elastica Logon'ska ?
poinform wytryskowi

Scharit Logon Relland Reade, Scharit etc.
motive wytryskowi znowu ston



$$\alpha x^{n+1} = n(n-1)(n-2) \dots (n-1) x^{n-3}$$

$$\alpha x^2 = n(n-1)(n-2)$$

No ~~_____~~ X

$$M = M_0 + \int_0^x \rho g y \xi \, d\xi = (E) \theta \frac{dy}{dx}$$

$$\rho g \int_0^x y' \xi \, d\xi + \rho g y x = E \theta \frac{d^3 y}{dx^3}$$

$$\rho g$$

~~_____~~

$$\rho g x f = \alpha^3 f + 3\alpha^2 f' + 3\alpha f'' + f'''$$

$$\rho g (y' x + y) = y''''$$

$$\alpha y'' = (y y'''' - y' y''')$$

$$y = a + b e^{ax}$$

$$y' = b a e^{ax}$$

$$y'' = b a^2 e^{ax}$$

$$y''' = \frac{2}{3} b a^3 e^{ax}$$

$$y'''' = b a^4 e^{ax}$$

$$\alpha [a^2 + 2ab e^{ax} + b^2 e^{2ax}] = ab a^4 e^{ax}$$

$$y = f \cdot e^{\alpha x}$$

$$y' = \alpha y + f' e^{\alpha x}$$

$$y'' = \alpha y' + \alpha^2 f e^{\alpha x} + f'' e^{\alpha x} = \alpha^2 y + 2\alpha f' e^{\alpha x} + f'' e^{\alpha x}$$

$$y''' = \alpha^3 y + 3\alpha^2 f' e^{\alpha x} + 3\alpha f'' e^{\alpha x} + f''' e^{\alpha x}$$

$$y = e^{f(x)}$$

$$y' = f' e^f$$

$$y'' = f'' e^f + f'^2 e^f$$

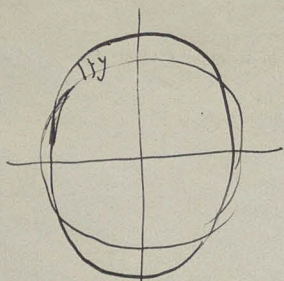
$$y''' = f''' e^f + 3 f' f'' e^f + f'^3 e^f$$

$$\rho g x = f'''' + 3 f' f'' + f'^3$$

$$f = x^n \quad f' = n x^{n-1} \quad f'' = n(n-1) x^{n-2}$$

$$\alpha x = n(n-1)(n-2) x^{n-3} + 3 n^2 (n-1) x^{2n-3} + n^3 x^{3n-3}$$

$$n = \frac{1}{3}$$



$$M = M_0 + \rho a z + \int_0^x \rho g \int_0^x (x-\xi) d\xi = -E\theta \frac{d^2 y}{dx^2}$$

$$z = (c+y_0) - (c+y) \cos \varphi$$

$$x = c \varphi$$

$$\sqrt{\frac{\rho g c^3}{E\theta}} = \sqrt{\frac{\rho g c^3 \cdot 12}{E L^3}}$$

$$= \sqrt{\frac{12 \cdot 3 \cdot 10^3 \cdot (800)^3}{5 \cdot 10^{11} \cdot 10^8}}$$

$$b = 2\pi c \sqrt{\frac{12 E L^3}{12 \rho g c^3}}$$

$$= 2\pi \sqrt{\frac{E L^3 c}{\rho g}}$$

$$\rho a \frac{dz}{dx} + \int_0^x \rho g d\xi = -E\theta \frac{d^2 y}{dx^2}$$

$$\rho a \frac{dz}{dx} + \rho g y = -E\theta \frac{d^2 y}{dx^2}$$

$$= 3 \sqrt{\frac{5 \cdot 10^{11} \cdot 10^8}{3 \cdot 10^3}}$$

$$= 3 \sqrt{10^{35}} = 3 \cdot 10^9$$

$$-\frac{\rho a}{c^2} \left[\frac{d^2 y}{d\varphi^2} \cos \varphi - 2 \frac{dy}{d\varphi} \sin \varphi - y \cos \varphi \right] + \rho g y = -\frac{E\theta}{c^2} \frac{d^2 y}{d\varphi^2}$$

$$M_0 + \rho a z + \rho \frac{x^2}{2} = -E\theta \frac{d^2 y}{dx^2}$$

$$\rho g \int_{\varphi=0}^{\varphi} y \cos \varphi [(c+y) \cos \varphi - (c+y) \sin \varphi] d\varphi + \int_{\varphi=0}^{\varphi} \frac{y}{c} \sin \varphi [(c+y) \cos \varphi - (c+y) \sin \varphi] d\varphi$$

$$y \left[c(\cos^2 \varphi - \sin^2 \varphi) + y \sin \varphi \cos \varphi - y \sin^2 \varphi \right] + c(\sin^2 \varphi - \cos^2 \varphi) \frac{y}{c} \sin \varphi + y \sin^2 \varphi$$

$$= y \left[c \cos(2\varphi) + y (\sin^2 \varphi - \cos^2 \varphi) \right]$$

$$\rho g \int_0^{\varphi} (c+y) \cos(\varphi-\varphi) d\varphi = \rho g c^2 \int_0^{\varphi} y \cos(\varphi-\varphi) d\varphi$$

$$M_0 + \rho a [c+y_0 - (c+y) \cos \varphi] - \rho g \int_0^{\varphi} y \cos(\varphi-\varphi) d\varphi = -\frac{E\theta}{c^2} \frac{\partial^2 y}{\partial \varphi^2}$$

$$\frac{\partial}{\partial \varphi} = \int y \cos(\varphi-\varphi) d\varphi$$

$$\frac{\partial}{\partial \varphi^2} = \int y \sin(\varphi-\varphi) d\varphi + y \varphi$$

$$\rho g \int_0^{\varphi} y \cos \varphi = -\frac{E\theta}{c^2} \frac{\partial^2 y}{\partial \varphi^2} - M_0 - \rho a c (1 - \cos \varphi) = \frac{E\theta}{c^2} \frac{\partial^2 y}{\partial \varphi^2} - \rho g c^2 y + \rho a c \cos \varphi$$

$$\frac{E\theta}{c^2} \left(\frac{\partial^2 y}{\partial \varphi^2} + \frac{\partial^2 y}{\partial \varphi^2} \right) - \rho g c^2 y = -M_0 - \rho a c$$

$$y = A + B \cos \varphi$$

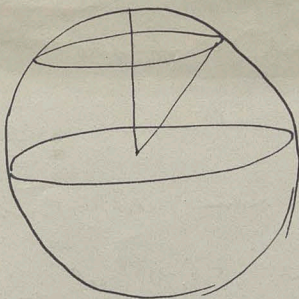
$$y^2 - y^2 = \frac{\rho g c^2}{E\theta}$$

$$y = \pm \sqrt{\frac{1}{2} \pm \sqrt{\frac{\rho g c^2}{E\theta} + \frac{1}{4}}}$$

napisane
 Modelirajte pravi konus: $y = A \sin \alpha x$

$$\frac{P}{E\theta} \alpha^2 + \frac{\rho g}{E\theta} = 0$$

$$\alpha = \sqrt{\frac{P}{2E\theta}} + \sqrt{\left(\frac{P}{2E\theta}\right)^2 - \frac{\rho g}{E\theta}}$$



13

"Evolucija" de W. shala
 u krali:

$$F = \frac{\int_0^{\frac{\pi}{2}} 2r^2 \sin \varphi \, d\varphi \cdot h \rho g \cos \varphi}{2r^2 h} = r \rho g \int_0^{\frac{\pi}{2}} \sin \varphi \cos \varphi \, d\varphi = \frac{r \rho g}{2}$$

W. shala:

$$F = \frac{\int_0^{\frac{\pi}{2}} \rho g h^2 \, d\varphi \cos \varphi}{h} = r \rho g$$

$$\frac{6300 \cdot 10^5 \cdot 2 \cdot 10^3}{2} = 6.3 \cdot 10^{11}$$

$$\frac{1}{2} 3150 \text{ km} = 1575$$

1903 Paris, Lebrun heavy efflu of Ra

Rutherford's calc

U-iumium - Ra
(Bostwood)

4.6. 10⁻¹⁴ g would compensate accrdg to Rutherford

(2.6. 10⁻²⁰ cal year loss total of calc)

with 1806 radium jacket 45 miles thick

Rutherford : 5.6. 10⁻² cal sec per 1g Ra

3550

John Joly - Duplin	Results (14)	5.0	10 ⁻¹² $\frac{32}{32}$
	Granite (6)	4.1	
	Syenite (1)	6.8	
	Linnite-Syenite (3)	5.7	
	Simplon (32)	7.6	
	Sottolungo (22)	5.1	

Ocean water 0.016. 10⁻¹²

Hologarima Ooze	7.2	10 ⁻¹²	extension in 10 ⁶ (miles) ²
Redolone	36.7		
Red Clay	33.3		
			49.5
			2.5
			57.5

more study collecting more radiations

Nile river water 0.0042. 10⁻¹²

Clark "The Date of Geochemistry"

Mean on 62 rocks 4.7
igneous 5-6
sedimentary 4-5

Sand of halite desert 0.4

Lecture Feb. 20 (1908) H A Wilson thermal efflu of Ra in earth!

For Simplon Staff predicted 470 max in top (accrdg to Sottolungo experience)

Stockholmen	36°
Ham	38-39°

actually found : 55°

Simplon Ra = 7.1

instead central 3.3 (competitively) than lowest temp

compare other elevations in N rivs (Fontenay) these Ra: 7.7

2.1/60 = 33.10⁻²

126/60.60

1261
985

2246

225/36 = 0.375
= 0.0625

60.60

$$\frac{4\pi \cdot 0.008 \cdot R^2}{3000 \cdot \frac{4\pi R^3}{3}} = \frac{0.008}{1000 R}$$

$$\begin{array}{r} 17.6082 \\ 0.5051 - 2 \\ 0.4974 \\ \hline 18.6104 - 2 \end{array}$$

$$\begin{array}{r} 0.9031 - 6 \\ 8.8041 \\ \hline 0.0990 - 14 \end{array}$$

$$126 \cdot 10^{-14} \text{ } \mu\text{m cm}^3$$

$$\frac{408 \cdot 10^{16}}{3000} = 1.36 \cdot 10^{13}$$

$$0.0373$$

$$\begin{array}{r} 2.5623 \\ 1.3802 \\ 3.5563 \\ \hline 7.4988 \end{array}$$

$$\frac{4\pi \cdot 0.008 \cdot R^2}{3000 \cdot \frac{4\pi R^3}{3}} = \frac{0.0373}{4.7 \cdot 10^{12} \cdot 2.8}$$

$$\frac{126 \cdot 10^{-14}}{0.0373 \cdot 5.6}$$

$$\begin{array}{r} 13.1035 \\ 20.6323 \\ \hline 3.42 \cdot 10^{20} \end{array}$$

$$\frac{6.3}{2} = 3.1$$

$$\begin{array}{r} 5717 \\ 7482 \\ \hline 3199 \end{array}$$

$$\begin{array}{r} 1004 \\ 3199 \\ \hline 7805 \end{array}$$

$$A = \frac{8.2}{4} \cdot 10^{20}$$

$$\begin{array}{r} 1.2553 \\ 0.6721 \\ 0.4472 \\ 0.5717 \\ \hline 2.9463 \end{array}$$

$$\frac{\delta x}{\delta x} = \frac{\alpha}{x}$$

$$6.03 \cdot 10^{-14}$$

$$B = \frac{\alpha x^2}{2} + b x$$

$$b = -b$$

$$B = \frac{\alpha x^2}{2} + b x$$

$$\alpha X = b$$

$$X = \frac{b}{\alpha}$$

$$B = \frac{\alpha x^2}{2} + \frac{b x^2}{2}$$

$$\frac{9.5 \cdot 10^{15} \cdot 4.6 \cdot 10^{15}}{2 \cdot 2.3 \cdot 10^{14}} = 9.5 \cdot 10^{15}$$

$$10^6$$

$$8920.0$$

$$100$$

$$0.4140$$

$$84378$$

$$= \frac{2.74 \cdot 10^{-11}}{2.74 \cdot 10^{-11}} = 3$$

$$\begin{array}{r} 2.74 \cdot 10^{-11} \\ 2.74 \cdot 10^{-11} \\ \hline 0.4150 \end{array}$$

$$\begin{array}{r} 1.6721 \\ 1.4472 \\ 0.5717 - 2 \\ 5.1745 - 12 \\ \hline 7.729.0 \end{array}$$

$$\begin{array}{r} 6.9031 \\ 0.1627 \\ 4.0469 \\ \hline 5.5 \end{array}$$

$$\begin{array}{r} 6.9772 \\ 2.4123 \\ 0.4975 \\ 1.5051 \\ 2.5623 \end{array}$$

$$\alpha = \frac{4.7 \cdot 10^{-12} \cdot 2.8 \cdot 0.0373}{800.0} = 1.3 \cdot 10^{-15}$$

$$\alpha = \frac{2.6 \cdot 365 \cdot 32 \cdot 2 \cdot (6.17)^3}{10^4} = 2.6$$

$$\frac{2.6 \cdot 10^{20}}{4} = 6.5 \cdot 10^{19}$$

5. v. d. Orme Di. Physics. Summary of. Tolson Review

Deitch. 2 Scaphoid 9 to 378 - 403 (1907)

1-380
E. O. R. & G. H. North. #10. Tolson. N. 11. 1897. 1100

1-381
P. E. R. V. = Summ. 11. 1897. 1100 (Summ. 11. 1897)
S. M. N. 1897. 1100 (Summ. 11. 1897)

then view of complex in the building - as of 1897 (1897)

1-387 E. G. O. F. M. N. & S. M. O. E. Reaction of

1-390 Fragment of S. M. O. & L. M. O. S. 1897. 1100 & 1897

Temp. of 1897. 1100
Temp. of 1897. 1100

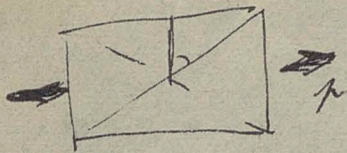
1-392
1-392

1-392
1-392

1-392
1-392

1-401
1-401

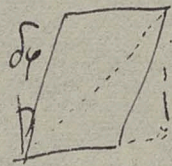
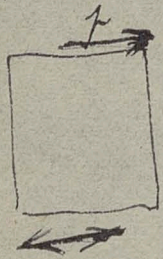
1-402
1-402



~~delta phi =~~
~~tau / G~~

$$\begin{aligned} \tau \gamma' &= \frac{1 + \frac{\nu}{E}}{1 - \nu \frac{\nu}{E}} = 1 + \frac{\nu}{E} (1 + \nu) = \tau \left(\frac{2}{E} + \delta \varphi \right) \\ &= 1 + \delta \varphi \end{aligned}$$

$$\delta \varphi = \frac{\nu}{E} (1 + \nu)$$



$$\delta \varphi = \frac{\nu}{E} = \frac{2\nu}{E} (1 + \nu)$$

$$T = \frac{E}{2(1 + \nu)}$$

$$\begin{aligned} \text{längsdehnung} &= \frac{\sqrt{1 + (1 + \delta \varphi)^2} - \sqrt{2}}{\sqrt{2}} = \frac{\sqrt{2(1 + \delta \varphi)} - \sqrt{2}}{\sqrt{2}} = 1 + \frac{\delta \varphi}{2} \\ &= 1 + \frac{\nu}{E} (1 + \nu) \end{aligned}$$

Somit wenn $\delta \varphi$ als Parameter für Festigkeit, so

$$\text{Schubfestigkeit} = \frac{1}{2} \text{ Zugfestigkeit}$$

wenn längsdehnungs Parameter so

$$\text{Schubfestigkeit} = \frac{1}{1 + \nu} \text{ Zugfestigkeit}$$



Druckungen:

$$\begin{aligned} &1 - (1 + \nu) \frac{\nu}{E} \\ &1 - (1 + \nu) \frac{\nu}{E} \\ &1 + 2\nu \frac{\nu}{E} \end{aligned}$$

Somit gemäß üblicher Annahme

$$u = \frac{1}{1 + \nu} \cdot 2$$

Somit gemäß Winkelzug

$$u = 2$$

Winkeländerung:

$$\begin{aligned} \tau \gamma' &= \frac{1 + 2\nu \frac{\nu}{E}}{1 - (1 + \nu) \frac{\nu}{E}} = \frac{1 + 2\nu + 1 - \nu}{E} = 1 + (1 + \nu) \frac{\nu}{E} = 1 + \delta \varphi \end{aligned}$$

$$\delta \varphi = (1 + \nu) \frac{\nu}{E}$$

У НИЖЕ ПЕРВЫХ И ВЪЗМОЖНОМЪ БОЛЪШЕ

X. ZJAZD LEKARZY I PRZYRODNIKÓW POLSKICH

===== WE LWOWIE W. R. 1907. =====

SEKCJA

LWÓW D.....

X. ZJAZD LEKARZY I PRZYRODNIKÓW POLSKICH

WE LWOWIE W. R. 1907.

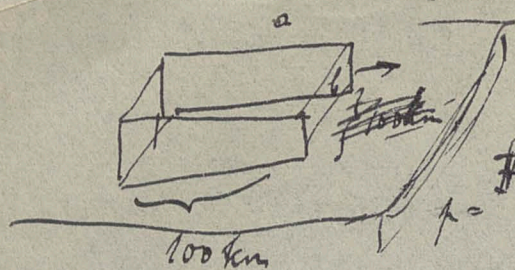
SEKCJA

LWÓW D.

Praca wykonana przez terie pod działaniem ciśnienia równego wytrzymałości na
 drodze 10 km, pro cm^2 :

$$\frac{10 \cdot 10^5 \cdot 10 \cdot 10^5 \cdot 10^3}{4 \cdot 10^7} \text{ kcal} = 2,5 \cdot 10^7 \text{ kcal}$$

Rubber Roads:



$$F = \frac{\rho g h a b \alpha}{b h} = \rho g \alpha a$$

$$\alpha = \frac{1}{10} \quad \Rightarrow \quad = \rho g \cdot 10 \text{ km}$$

^{beimal} übersteigt die Druckfestigkeit d. Gummis!

aber es würde eine Neigung von 1:10 genügen ohne irgend einen Krampf!

287214

МЕ ГМОМІЕ М. В. 1902

У. ДІВІТЬ ГЕКАВІХ І ВІСЛІКОРІНІМ БОРІНІМ

8.75	879.9
0.9	8790.0
825	8660.0
	8530.0

Nature 62 p 335 Adams plenty of work

23

Nature, Revue XV (1950) p 285 Spring Plant at d

Decl. Dec. 1907 p 917 Martens f y b m d

M. Sady & p. M. d W. 67082 III 17 h

Top - Kolye $\gamma = 1300$ CSS

pro 1^o M. Sady - 25%

Zadubry 100 M. Sady 192^o

Shore Point 1 for plant job!

{ 11.8^o $\gamma = 4.8 \cdot 10^5$
7.1^o $92 \cdot 10^5$

80% Kolye - Top PL. $\gamma = 9.2 \cdot 10^6$
90% — — $\gamma = 4.7 \cdot 10^{11}$

11. ~~11~~. 20

~~92~~

$\frac{220}{9} = 25$

New York Phil 100 [1] 45-61 (1957)
Rime in NY 826 55 22/26

Konigsberg 7h 2.7 (1956) p 297
Parden 5 (1956) p 507

for 43 H 223 (1903)

Newman. Page 41 p. 223, 306
42 p. 299, 405
Lohr 92 p. 292

Danschinger Zeltner. f. Danneberg 1879 p. 269
 Guntter's Geophysik 1885 II p. 624-627
 15879 III
 L. I 8 (1892)
Hergesell Beiträge z. Geophysik II (1895) p. 153-184
 65325 II Bill.
 par.

Spannungsverteilung
 in Erdinneren

Danschinger Mittl. z. d. mechan. techn. Zeltner d. phys. Schule in spezialisierte E der Stadt
 p. 1879
 München I Heft 1873
 Zeltner. f. Danneberg 1879 p. 269 Druck T (3369)

Dryan Cambridge Phil. Soc. Proc. VI (1889) p. 199 Elastic Stability

Suess ~~Mittl. z. d. Erde I p. 142 d.~~

Schrumpfungstheorie

Heim Untersuchungen z. d. Mechanismus d. Erbsbildung
 Basel 1878

zum Mechanismus d. Erbsbildung

65486 II
 (Kirk)

z. d. Mechanismus d. Gesteins umformung bei d. Erbsbildung Z. d. d. geol. Ges. 32 p. 262

z. d. Stauung und Faltung d. Erdkruste Basel 1878 Verh. d. naturf. Ges. Zürich 20 p. 115
 Dryan

Penck Morphologie d. E.

Fisher The Formation of Mountains Nature 19 p. 172
 19 p. 313 } Kirk

Fisher Physics of the Earth's Crust London 1881
 Heft 1891

(Kirk) z. d. Bestimmung d. Härte und d. Fluss vieler Krüge Zeltner. d. orte. Ingenieur & Architektur V
 L. T. XLII 1890 p. 1.

Stoff Neues Jahr - Naturw. 1879 p. 292, 293
 zur Mechanik d. Schwebefähigen

Günther's Geophysik 1880. 594 Geometrie [p. 2, E, 2-3]

Günther's Synch. I. p. 181 - 194 p. 203
p. 344 - 363

Manuskript Annot. Endoloth

II p. 856 - 873

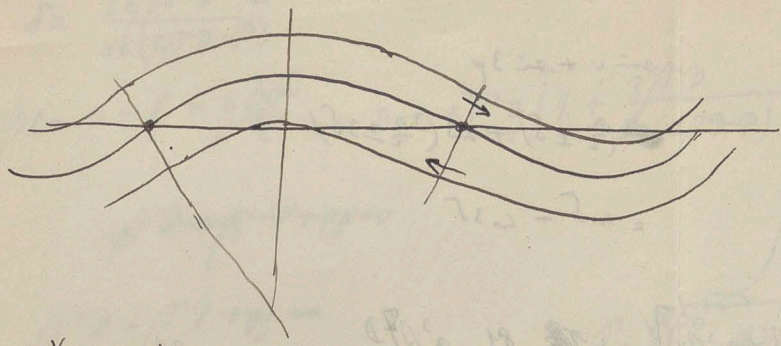
Barron's Synch. d. Ind. (class. ed.) II 10th ed.

Phil. Tr. 1882 I p. 187

Nature 27 p. 22

Dall 1885 p. 62

Helmuth Lohsen Arch. 5711 1908



$$\frac{\partial X_x}{\partial x} + \frac{\partial X_y}{\partial y} = 0$$

$$\frac{\partial X_y}{\partial x} + \frac{\partial X_x}{\partial y} = 0$$

$$X_x = \frac{E}{R} \frac{h}{4}$$

$$\frac{4 E h^2 \pi A}{\lambda^3} \sin X_4$$

$$y = A \sin \beta x \quad \beta = \frac{2\pi}{\lambda}$$

$$\frac{1}{R} = \frac{1}{\frac{\lambda}{2}} \left(\frac{dy}{dx} \right) dx$$

$$= \frac{1}{\lambda} \lambda \beta = \frac{\beta}{\lambda} A$$

$$\frac{\partial X_x}{\partial y} = \frac{E h}{4} \frac{\partial \pi A}{\lambda^2}$$

$$X_y = X_x$$

$$X_x = \frac{E}{2} \left(\frac{dy}{dx} \right) y$$

$$\frac{dy}{dx} = \beta^2 y$$

$$\frac{F}{E} = \frac{1}{100} = \frac{30 A}{900 \cdot 2 \cdot 10^5}$$

$$A = 0.6 \text{ km}^2$$

$$E \left(\frac{d^2 y}{dx^2} \right) y = - \frac{\partial X_y}{\partial y}$$

$$\left(\frac{d^2 y}{dx^2} \right) = -\beta^2 \left(\frac{dy}{dx} \right)$$

$$X_y = -E \left(\frac{d^2 y}{dx^2} \right) \frac{y^2}{2} + c$$

$$\text{Nur } X_y = \frac{E}{2} A \beta^3 \frac{h^2}{4} = \frac{E A \pi^3 h^2}{\lambda^3}$$

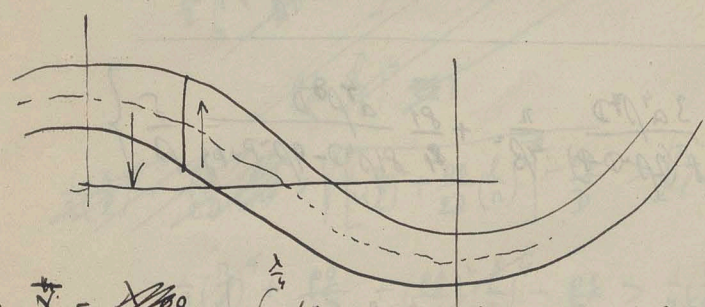
$$= \frac{E}{2} \left(\frac{d^2 y}{dx^2} \right) \left(\frac{h^2}{4} - y^2 \right)$$

$$\text{Lambert: } \lambda = 2\pi \sqrt{\frac{D}{\rho g}}$$

$$h = \frac{3(1-\nu^2) F^2}{E \rho g}$$

$$= \frac{E A \pi^3 h^2}{\lambda^3} = \frac{E A \pi^3 h^2}{\left(\frac{2\pi \sqrt{D}}{\rho g} \right)^3}$$

$$= 2\pi \sqrt{\frac{E h^3}{12(1-\nu^2) \rho g}}$$



$$\text{falls } X_y = F$$

$$h = \frac{2\pi F}{\rho g A}$$

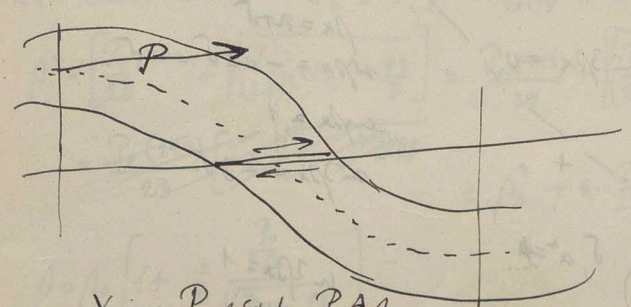
$$F = 8 \cdot 10^5 \cdot 3 \cdot 10^3 = 24 \cdot 10^8$$

$$\text{Nur } X_y = \frac{\rho g \int y dx}{h} = \frac{\rho g A}{\rho h} = \frac{\rho g A \lambda}{2\pi h}$$

$$X_y = \frac{28 \cdot 10^3}{6} \cdot 30 \cdot A$$

$$= 14 \cdot 10^3 A$$

$$A = 2 \text{ km}^2$$



$$X_y = \frac{P}{h} \cdot \lambda = \frac{P A \lambda}{h} = \frac{F A \lambda}{\lambda}$$

$$A = 0.3 \text{ km}^2$$

$$\frac{dy}{dx} = a^3 \beta^4 \sin \beta x \cos \beta x$$

$$\sin \varphi + \sin 3\varphi$$

$$= \left(\frac{\pi}{2} \pm \delta\right) + 2\pi \left(\frac{3\pi}{2} \pm 3\delta\right)$$

$$= \cos \delta - \cos 3\delta$$

$$\frac{dy}{dx} = a\beta \cos \beta x + \frac{3a^3\beta^5 D}{16(2\beta^2 D - P)} \left[\cos \beta x - \beta x \sin \beta x \right] + \frac{81}{8} \frac{a^3 \beta^7 D}{81\beta^4 D - 9\beta^2 P + P^2} \cos 3\beta x$$

$$\left(\frac{dy}{dx}\right)^2 = a^2 \beta^2 \cos^2 \beta x + \frac{3a^3\beta^5 D}{16(2\beta^2 D - P)} \left[\cos \beta x - \beta x \sin \beta x \right]^2 - 2a\beta \cos \beta x \left[\cos \beta x - \beta x \sin \beta x \right] - \frac{3a^4\beta^7 D}{8(2\beta^2 D - P)} \cos 3\beta x$$

$$+ \frac{81}{4} \frac{a^4 \beta^8 D}{81\beta^4 D - 9\beta^2 P + P^2} \cos^2 \beta x \cos 3\beta x + \dots$$

$$\int_0^{\beta x = \pi + \delta} \cos^2 \beta x dx = \frac{1}{\beta} \int_0^{\pi + \delta} \cos^2 \varphi d\varphi = \frac{1}{2\beta} \int_0^{\pi + \delta} (1 + \cos 2\varphi) d\varphi = \frac{1}{2\beta} \left(\varphi + \frac{\sin 2\varphi}{2} \right) \Big|_0^{\pi + \delta} = \frac{1}{2\beta} \left(\pi + \delta + \frac{\sin 2\delta}{2} \right) = \frac{1}{2\beta} (\pi + 2\delta)$$

$$\int_0^{\pi + \delta} \cos \beta x \cos 3\beta x dx = \frac{1}{\beta} \int_0^{\pi + \delta} \cos \varphi \cos 3\varphi d\varphi = \frac{1}{2\beta} \int_0^{\pi + \delta} (\cos 2\varphi + \cos 4\varphi) d\varphi = \frac{1}{2\beta} \left(\frac{\sin 2\varphi}{2} + \frac{\sin 4\varphi}{4} \right) \Big|_0^{\pi + \delta} = \frac{1}{2\beta} \left(\frac{\sin 2\delta}{2} + \frac{\sin 4\delta}{4} \right) = \frac{\delta}{\beta}$$

$$\int_0^{\pi + \delta} x \cos \beta x \cos 3\beta x dx = \frac{1}{\beta^2} \int_0^{\pi + \delta} \varphi \cos \varphi \cos 3\varphi d\varphi = \frac{1}{8\beta^2} \int_0^{\pi + \delta} \varphi \sin 2\varphi d\varphi = \frac{1}{8\beta^2} \left[-2(\pi + \delta) \cos 2\delta + \sin 2\delta \right] +$$

$$\int_0^{\pi + \delta} \varphi \sin 4\varphi d\varphi = -\varphi \cos 4\varphi + \int \cos 4\varphi d\varphi = -\varphi \cos 4\varphi + \frac{\sin 4\varphi}{4}$$

$$\int_0^{\beta x = \pi + \delta} = \frac{\pi + \delta}{\beta} + \frac{1}{2} \left\{ \left[a^2 \pi^2 + \frac{3a^4 \beta^6 D}{8(2\beta^2 D - P)} \right] \left(\frac{\pi}{2\beta} + \frac{\delta}{\beta} \right) + \frac{3a^4 \beta^7 D}{8(2\beta^2 D - P)} \frac{\pi}{4\beta^2} + \frac{81}{8} \frac{a^4 \beta^8 D}{81\beta^4 D - 9\beta^2 P + P^2} \frac{\delta}{\beta} \right\}$$

$$= \frac{\pi + \delta}{\beta} + \frac{\delta}{\beta}$$

$$= \frac{1}{\beta} \left\{ \pi + \delta + \frac{\pi a^2 \beta^2}{4} + \frac{\delta a^2 \beta^2}{2} + \frac{3a^4 \beta^6 D}{8(2\beta^2 D - P)} \left[\frac{3\pi}{8} + \frac{\delta}{2} \right] + \frac{81}{8} \frac{a^4 \beta^8 D}{81\beta^4 D - 9\beta^2 P + P^2} \delta \right\} = l$$

$$a \sin \beta x + \frac{3a^3 \beta^5 D}{16(2\beta^2 D - P)} x \cos \beta x + \frac{27}{8} \frac{a^3 \beta^6 D}{81\beta^4 D - 9\beta^2 P + P^2} \sin 3\beta x = 0,$$

$$\beta x = \pi + \delta$$

$$\sin \beta x = -\sin \delta = -\delta$$

$$\cos \beta x = 1$$

$$\sin 3\beta x = -3\delta$$

$$\cos 3\beta x = 1$$

$$-a\delta + \frac{3a^3 \beta^5 D}{16(2\beta^2 D - P)} \frac{\pi + \delta}{\beta} + \frac{81}{8} \frac{a^3 \beta^6 D}{81\beta^4 D - 9\beta^2 P + P^2} \delta = 0$$

$$\frac{1}{\beta} \left\{ \pi + \delta + \frac{\pi a^2 \beta^2}{4} - \frac{\delta a^2 \beta^2}{2} + \frac{3a^4 \beta^6 D}{8(2\beta^2 D - P)} \left[\frac{7\pi}{8} + \delta \right] \right\} = l$$

$$\delta = \frac{3a^2 \beta^4 D}{16(2D-P)}$$

$$\rho l = n + \delta + \frac{n^2 \beta^2}{4} = n + a^2 \beta^2 \frac{n}{4} \left[\chi + \frac{3\beta^2 D}{2(2D-P)} \right]$$

~~$$\beta^4 D + \beta^2 P + P^2 = 0$$~~

$$(2) \quad \beta^4 D - \beta^2 P + P^2 = 0$$

$$a^2 = \frac{\rho l - n}{\beta^2 \frac{n}{4} \left[\chi + \frac{3\beta^2 D}{2(2D-P)} \right]}$$

$$a^2 = \frac{\sqrt{\frac{P}{2D}} l \left[1 + \sqrt{\frac{\varepsilon}{2}} \right] - n}{\frac{P}{2D} (1 + \sqrt{2\varepsilon}) \frac{n}{4} \left[\chi + \frac{3}{2\sqrt{2\varepsilon}} \right]}$$

$$= \frac{\sqrt{\varepsilon} \left[l - n \sqrt{\frac{2D}{P}} \right]}{\sqrt{\frac{P}{2D}} \frac{n}{4} \frac{3}{\sqrt{2\varepsilon}}}$$

$$\beta^2 = \sqrt{\frac{P}{2D} + \sqrt{\left(\frac{P}{2D}\right)^2 - \frac{P^2}{D}}}$$

$$= \frac{P}{2D} \left[1 + \sqrt{1 - \frac{4D P^2}{P^2}} \right]$$

$$= \frac{P}{2D} (1 + \sqrt{2\varepsilon})$$

$$P = 2\sqrt{D P^2} (1 + \varepsilon)$$

$$\sqrt{1 - \frac{4}{(1+\varepsilon)^2}} = \frac{\sqrt{2\varepsilon}}{1+\varepsilon}$$

$$\beta = \sqrt{\frac{P}{2D}} (1 + \sqrt{\frac{\varepsilon}{2}})$$

$$2\beta^2 D - P \neq P\sqrt{2\varepsilon}$$

$$\frac{3\beta^2 D}{2(2D-P)} = \frac{3 \frac{P}{2}}{P\sqrt{2\varepsilon}} = \frac{3}{2\sqrt{2\varepsilon}}$$

$$l < n \sqrt{\frac{4D}{P}}$$

$$\sqrt{\frac{2D}{P}} \neq \sqrt{\frac{P}{D P^2}} = \sqrt{\frac{D}{P^2}}$$

$$(3) \quad P = D \left(\frac{n}{l}\right)^2 + P^2 \left(\frac{l}{n}\right)^2$$

$$\frac{P}{2D} = \frac{1}{2} \left(\frac{n}{l}\right)^2 + \frac{P^2}{2D} \left(\frac{l}{n}\right)^2$$

~~$$\left(\frac{l}{n}\right)^2 \left[\frac{1}{2} - \frac{P^2}{2D} \right] = \frac{1}{2} \left(\frac{n}{l}\right)^2$$~~
~~$$\frac{1}{2} \left[1 + \frac{P^2}{D} \left(\frac{l}{n}\right)^2 \right] \geq 1$$~~
~~$$\frac{P^2}{D} \left(\frac{l}{n}\right)^2 \geq 1$$~~

czy $\beta l - n$ nie może być < 0 ?

$$\beta^2 l^2 \geq n^2?$$

$$\left[\frac{P}{2D} + \sqrt{\left(\frac{P}{2D}\right)^2 - \frac{P^2}{D}} \right]^2 l^2 > \frac{n^2}{l^2}$$

$$\left(\frac{P}{2D}\right)^2 l^2 > \frac{n^2}{l^2} + \left(\frac{P}{2D}\right)^2 l^2 - 2 \frac{n^2}{l^2} \sqrt{\left(\frac{P}{2D}\right)^2 - \frac{P^2}{D}}$$

~~$$\frac{1}{2} \left(\frac{n}{l}\right)^4 + \frac{P^2}{2D} \left(\frac{n}{l}\right)^2 + \sqrt{\left[\frac{1}{2} \left(\frac{n}{l}\right)^2 + \frac{P^2}{2D} \left(\frac{n}{l}\right)^2\right]^2 - \frac{P^2}{D}} > \frac{n^2}{2l^2} - \frac{P^2}{2D} \left(\frac{l}{n}\right)^2$$~~

~~$$\frac{1}{2} \left(\frac{n}{l}\right)^4 + \frac{P^2}{2D} + \left(\frac{P^2}{2D}\right)^2 \left(\frac{l}{n}\right)^4 - \frac{P^2}{D} > \frac{1}{2} \left(\frac{n}{l}\right)^4 - \frac{P^2}{2D} + \left(\frac{P^2}{2D}\right)^2 \left(\frac{l}{n}\right)^4$$~~

czy jeśli nie wynika zwrócić

(I) to $\beta l = n$ iść

jeśli jednak P wynika to β wynika, więc $\beta l - n$ dodatnie

nie trzeba stąd $P_0 = D \left(\frac{n}{l}\right)^2 + P^2 \left(\frac{l}{n}\right)^2 \quad P = P_0 (1 + \varepsilon)$

$$\beta^2 = \left[\frac{P_0 (1 + \varepsilon)}{2D} + \sqrt{\left(\frac{P_0 (1 + \varepsilon)}{2D}\right)^2 - \frac{P_0^2}{D}} \right] = \frac{P_0 (1 + \varepsilon)}{2D} + \sqrt{\left(\frac{P_0}{2D}\right)^2 - \frac{P_0^2}{D} + 2\varepsilon \frac{P_0}{2D}} = \frac{P_0}{2D} + \sqrt{\left(\frac{P_0}{2D}\right)^2 - \frac{P_0^2}{D}} \left[1 + \varepsilon \frac{\left(\frac{P_0}{2D}\right)^2}{\left(\frac{P_0}{2D}\right)^2 - \frac{P_0^2}{D}} \right] + \frac{P_0}{2D} \varepsilon$$

~~$$= \frac{P_0 (1 + \varepsilon)}{2D} \left[1 + \sqrt{1 - \frac{4D P_0^2}{P_0^2}} \right]$$~~

$$= \beta_0^2 + \varepsilon \frac{P_0}{2D} \left[1 + \frac{P_0}{2D} \right] = \beta_0^2 + \varepsilon \frac{P_0}{2D} \beta_0^2 = \beta_0^2$$

$$\beta = \beta_0 \left[1 + \frac{1}{2} \frac{\frac{P_0}{2D}}{\left(\frac{P_0}{2D}\right)^2 - \frac{P_0^2}{D}} \right]$$

$$2D^2 D - P = \frac{P^2}{2D} - \frac{P^2}{D} = \sqrt{\left(\frac{P_0}{2D}\right)^2 - \frac{P_0^2}{D}} \left[1 + \frac{\varepsilon \left(\frac{P_0}{2D}\right)^2}{\left(\frac{P_0}{2D}\right)^2 - \frac{P_0^2}{D}} \right]$$

Goodman's etc

1909 [34]

Wm. Kerner, Jr
5547-579

1908

[Faint handwritten notes and mathematical scribbles, including the number 4118 and various symbols]

[Faint handwritten notes and mathematical scribbles, including the number 11, 33 and various symbols]

[Faint handwritten notes and mathematical scribbles, including the number 11, 33 and various symbols]



